

# ВЫСОКОЧАСТОТНЫЙ ОТКЛИК ДВУХБАРЬЕРНЫХ НАНОСТРУКТУР

*В. Ф. Елесин\**

*Московский государственный инженерно-физический институт  
115409, Москва, Россия*

Поступила в редакцию 13 декабря 2001 г.

В рамках последовательной квантовомеханической модели аналитически вычислен высокочастотный линейный отклик для резонансно-туннельного диода с несимметричными барьерами. Показано, что ток отклика исключительно чувствителен к асимметрии барьеров. Так, если «мощность» барьера коллектора  $\alpha_1$  становится меньше «мощности» эмиттера  $\alpha_2$  (например, из-за напряжения смещения), ток меняет знак при некоторой частоте, зависящей от параметров структуры. В обратной ситуации ( $\alpha_1 \geq \alpha_2$ ) ток сохраняет знак во всем интервале частот. Таким образом, появляется принципиальная возможность согласовать полученные ранее экспериментальные и теоретические результаты. В то же время квантовый режим высокочастотной генерации резонансно-туннельного диода, предсказанный ранее для  $\alpha_1 = \alpha_2$ , реализуется для любых  $\alpha_1$  и  $\alpha_2$ . В этом режиме возможно достижение больших мощностей на частотах, значительно превышающих ширину резонансного уровня. В работе также показано, что механизм когерентного усиления в резонансно-туннельных диодах тесно связан с квантовой интерференцией резонансно-туннелирующих электронов и существенно отличается от обычно предполагаемого.

PACS: 73.20.Dx, 72.30.+q, 72.10.-d

## 1. ВВЕДЕНИЕ

Высокочастотные свойства двухбарьерных наноструктур, в частности резонансно-туннельного диода, остаются нерешенной теоретической проблемой. Общепринятая теория высокочастотного отклика и генерации в резонансно-туннельном диоде в настоящее время отсутствует, несмотря на интенсивные исследования и несомненный практический интерес. Более того, опубликованные работы содержат противоречивые результаты по частотной зависимости отклика даже в линейном по полю приближении.

Так, в теоретических работах [1–3] (численные методы), [4] (аналитическая модель), [5, 6] (метод туннельного гамильтониана) утверждается, что ток поляризации (линейный отклик), описывающий усиление в резонансно-туннельном диоде, может изменять знак при некоторой частоте, примерно равной ширине резонансного уровня  $\Gamma$ . Имеются и экспериментальные данные о смене знака [7]. Отсюда делается вывод о существовании предельной частоты

усиления и генерации резонансно-туннельного диода. Такая точка зрения достаточно широко распространена (см., например, [8]).

С другой стороны, экспериментально достигнутая частота генерации  $10^{12}$  с<sup>-1</sup> в [9] и теоретические результаты [10–14] свидетельствуют об обратном. Действительно, в [10–14] (см. также [15]) аналитически и численно показано, что ток остается значительным в широком интервале частот.

Оставляя пока работы [1–3], выполненные численными методами (см. ниже в Заключение и в [10]), укажем, что в упомянутых работах либо используется метод туннельного гамильтониана, либо уравнение Шредингера не решается явно. Вместе с тем система когерентных туннелирующих в резонансно-туннельный диод электронов, взаимодействующих с электромагнитным полем, требует последовательного квантовомеханического описания и открытых граничных условий. Это связано с явлением квантовой интерференции электронов, весьма чувствительной к энергии подводимых из коллектора электронов и к граничным условиям. Нам представляется, что применяемые в [4–6] подходы не

\*E-mail: VEF@supercon.mephi.ru

удовлетворяют перечисленным требованиям. Напротив, использованная в работах [10–14] модель является достаточно строгой.

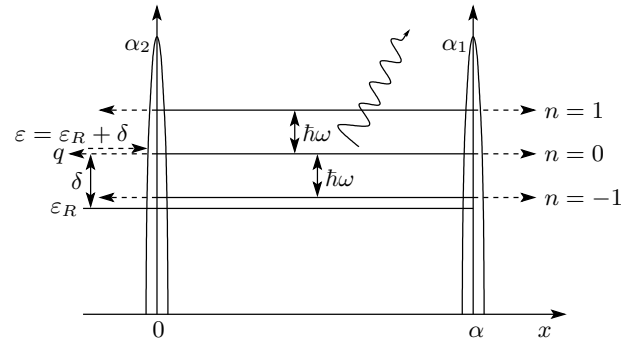
Однако в [10–14] предполагалась полная симметрия барьеров. Как оказывается, асимметрия барьеров эмиттера и коллектора (всегда наблюдающаяся экспериментально и, видимо, в численных расчетах [1–3] из-за поля смещения) может радикально изменить частотную зависимость.

Цель настоящей работы — обобщить результаты [10] на более общие граничные условия, чтобы попытаться согласованно объяснить известные теоретические и экспериментальные результаты. В работе в рамках модели [10] найдено точное аналитическое решение и простые выражения для токов поляризации. Показано, что отклик исключительно чувствителен к разнице параметров барьеров. Так, если «мощность» барьера коллектора  $\alpha_1$  становится меньше мощности барьера эмиттера  $\alpha_2$  (т. е.  $\alpha_1 < \alpha_2$ ), ток изменяет знак при некоторой частоте, зависящей от параметров барьеров. В обратной ситуации ( $\alpha_1 \geq \alpha_2$ ) ток сохраняет знак во всем интервале частот. Таким образом, появляется, по крайней мере, принципиальная возможность согласовать экспериментальные [7, 8] и теоретические численные [1–3, 11–13] и аналитические результаты [10]. Отметим, что согласно [4–6] отклик проявляет слабую зависимость от разности  $\alpha_2 - \alpha_1$ , еще раз демонстрируя неприменимость подходов, используемых для описания когерентной генерации (см. подробнее в Заключение).

В работе также показано, что механизм усиления в резонансно-туннельном диоде тесно связан с квантовой интерференцией и существенно отличается от обычно предполагаемого.

## 2. ВОЛНОВЫЕ ФУНКЦИИ РЕЗОНАНСНО-ТУННЕЛЬНОГО ДИОДА В ЛИНЕЙНОМ ПО ПОЛЮ ПРИБЛИЖЕНИИ

Мы изучим модель когерентного туннелирования в резонансно-туннельном диоде, аналогичную [10]. Рассматривается одномерная квантовая яма с  $\delta$ -функциональными барьерами в точках  $x = 0$  и  $x = a$  (см. рисунок). Слева ( $x \rightarrow -\infty$ ) к квантовой яме подводится стационарный поток электронов, пропорциональный  $q^2$ , с энергией  $\epsilon$ , приблизительно равной энергии резонансного уровня  $\epsilon_R$ . В области квантовой ямы действует



переменное электрическое поле  $E(t)$  с потенциалом  $U(x, t)$ :

$$U(x, t) = U(x) \cos \omega t,$$

$$U(x) = \begin{cases} xU\theta(x), & x < a, \\ aU & x > a, \end{cases} \quad (1)$$

$$U = -eE/2.$$

Волновая функция  $\Psi(x, t)$  удовлетворяет уравнению Шредингера

$$i \frac{\partial \Psi}{\partial t} = -\frac{\partial^2 \Psi}{\partial x^2} + [\alpha_2 \delta(x) + \alpha_1 \delta(x-a)] \Psi + U(x, t) \Psi. \quad (2)$$

Здесь положено  $\hbar = 2m = 1$ . Установившееся решение (2) ищем в виде [2, 10, 16]

$$\Psi(x, t) = e^{-i\epsilon t} [\psi_0(x) + e^{-i\omega t} \psi_{+1}(x) + e^{i\omega t} \psi_{-1}(x)]. \quad (3)$$

Парциальные волновые функции  $\psi_0, \psi_n$  ( $n = \pm 1$ ) описывают электроны с квазиэнергиями соответственно  $\epsilon$  и  $\epsilon + n\omega$ .

Переменное поле вызывает токи поляризации (отклика)

$$J^c(x, t) = J^c(x) \cos \omega t, \quad J^s(x, t) = J^s(x) \sin \omega t.$$

Здесь  $J^c$  — синфазный с полем и  $J^s$  — реактивный токи;  $J^c$  и  $J^s$  можно выразить через функции  $\psi_0$  и  $\psi_n$ :

$$J^c(x) = J_{+1}^c(x) + J_{-1}^c(x),$$

$$J_n^c(x) = -ie [(\psi_0^* \psi_n' + \psi_n^* \psi_0') - \text{с.с.}],$$

$$J^s(x) = J_{+1}^s(x) - J_{-1}^s(x),$$

$$J_n^s(x) = e [(\psi_0^* \psi_n' - \psi_n^* \psi_0') + \text{с.с.}], \quad \psi' \equiv \frac{d\psi}{dx}. \quad (4)$$

Функция нулевого приближения  $\psi_0(x)$  в области  $0 < x < a$  удовлетворяет уравнению

$$\epsilon \psi_0(x) + \psi_0''(x) = 0 \quad (5)$$

и граничным условиям (см. [8])

$$\begin{aligned} \psi_0(0)(1 - \beta_2) + \psi'_0(0)/ip &= q, \quad p^2 = \varepsilon, \\ \psi_0(a)(1 - \beta_1) - \psi'_0(a)/ip &= 0, \\ \beta_j &= \alpha_j/ip, \quad j = 1, 2. \end{aligned} \quad (6)$$

Соответствующие уравнения и граничные условия для функций  $\psi_n(x)$  в линейном по полю приближении имеют вид

$$p_n^2 \psi_n(x) + \psi_n''(x) = U(x)\psi_0(x), \quad p_n^2 = p^2 + n\omega, \quad (7)$$

$$\psi_n(0)(1 - \beta_{2n}) + \frac{\psi_n'(0)}{ip} = 0, \quad (8)$$

$$\psi_n(a)(1 - \beta_{1n}) - \frac{\psi_n'(a)}{ip_n} = \frac{aU\psi_0(a)}{2p_n^2},$$

$$\beta_{jn} = \frac{\alpha_j}{ip_n}, \quad j = 1, 2.$$

В (5)–(8) предполагается, что  $\psi_n \ll \psi_0$ . Решение системы (5)–(8) можно представить в следующей форме:

$$\begin{aligned} \psi_0(x) &= A \exp(ipx) + B \exp(-ipx) \equiv \\ &\equiv \gamma_0 \cos px + i\delta_0 \sin px, \\ A\Delta_0 &= q(2 - \beta_1) \exp(-2ipa), \quad B\Delta_0 = q\beta_1, \end{aligned} \quad (9)$$

$$\begin{aligned} \Delta_0 &= (2 - \beta_1)(2 - \beta_2) \exp(-2ipa) - \beta_1\beta_2 \approx \\ &\approx \frac{2}{\sqrt{\Gamma_1\Gamma_2}} (i\delta - \Gamma), \end{aligned} \quad (10)$$

$$\delta = \varepsilon - \varepsilon_R, \quad \Gamma = \Gamma_1 + \Gamma_2, \quad \Gamma_j = \frac{2p^3}{a\alpha_j^2},$$

$$\begin{aligned} \psi_n &= A_n \exp(ip_n x) + B_n \exp(-ip_n x) - \\ &- \frac{xU}{\omega_n} \psi_0 - \frac{2U}{\omega_n^2} \psi'_0, \end{aligned} \quad (11)$$

$$A_n \Delta_n = q_n(2 - \beta_{1n}) \exp(-2ip_n a) + \beta_{2n} \tilde{q}_n,$$

$$B_n \Delta_n = q_n \beta_{1n} + (2 - \beta_{2n}) \tilde{q}_n, \quad \omega_n = -n\omega,$$

$$\Delta_n \approx \frac{2}{\sqrt{\Gamma_1\Gamma_2}} [i(\delta + n\omega) - \Gamma], \quad (12)$$

$$q_n = \frac{2Uip}{\omega_n^2} \left[ A(2 - \beta_{2n}) + \beta_{2n}B + \frac{\omega_n^2}{4p^4} (A + B) \right], \quad (13)$$

$$\begin{aligned} \tilde{q}_n &= -\frac{2Uip}{\omega_n^2} \left[ \beta_{1n}A + (2 - \beta_{1n})Be^{-2ip_n a} + \right. \\ &\left. + \frac{\omega_n^2}{4p^4} (A + Be^{-2ipa}) \right] e^{i(p-p_n)a}. \end{aligned}$$

Формулы (9)–(13) дают точное решение задачи, которое, к сожалению, громоздко и необозримо. Однако, как показано в [10], существует возможность преобразовать общие формулы для  $\psi_n$  и токов  $J^c$ ,  $J^s$  к простым и физически наглядным выражениям, используя естественный для резонансно-туннельного диода малый параметр  $\omega/\varepsilon_R$ . Действительно, малость частоты  $\omega$  по сравнению с энергией  $\varepsilon_R$  прираща генератору на резонансно-туннельном диоде.

Чтобы провести это преобразование, представим величины  $\gamma_n = A_n + B_n$  и  $\delta_n = A_n - B_n$  в виде суммы слагаемых

$$\begin{aligned} \gamma_n &= \gamma_n^{(1)} + \gamma_n^{(2)} + \gamma_n^{(3)}, \\ \delta_n &= \delta_n^{(1)} + \delta_n^{(2)} + \delta_n^{(3)}. \end{aligned} \quad (14)$$

В слагаемых  $\gamma_n^{(1)}$  и  $\delta_n^{(1)}$  полагаем  $p = p_n$  в показателях экспонент, а в  $\gamma_n^{(2,3)}$  и  $\delta_n^{(2,3)}$  формируем разность между точными и выделенными выражениями. После компенсации в  $\gamma_n^{(1)}$  и  $\delta_n^{(1)}$  ряда членов и сокращения определителя в знаменателе получаем

$$\gamma_n^{(1)} = \frac{2Uip}{\omega_n^2} \delta_0, \quad \delta_n^{(1)} = \frac{2Uip}{\omega_n^2} \gamma_0. \quad (15)$$

Отметим, что  $\gamma_n^{(1)}$  и  $\delta_n^{(1)}$  расходятся при  $\omega \rightarrow 0$ . Оставшиеся слагаемые оказываются конечными в низкочастотном пределе и равными

$$\gamma_n^{(2)} = -\frac{4Uip}{\omega_n^2 \Delta_n} [\beta_{1n}A z_n + (2 - \beta_{1n})B e^{-2ip_n a} z_n^*], \quad (16)$$

$$\delta_n^{(2)} = \gamma_n^{(2)} (\beta_{2n} - 1), \quad z_n = \exp(ipa - ip_n a) - 1. \quad (17)$$

В (16), (17) опущены малые члены порядка  $\omega/\varepsilon_R$  и  $\Gamma/\varepsilon_R$ . Здесь мы рассматриваем наиболее интересный случай квантовой ямы с «сильными» барьерами, когда  $\Gamma/\varepsilon_R \ll 1$  и  $p/\alpha_j \ll 1$ . Именно в этом пределе реализуются замечательные свойства квантовых ям. С учетом малости  $\omega/\varepsilon_R$  и  $\Gamma/\varepsilon_R$  (16) окончательно приводится к виду

$$\gamma_n^{(2)} = -\frac{4Ua^2\alpha_1 A}{p^2 \Delta_n}. \quad (18)$$

Видно, что выражение  $\gamma_n^{(2)}$  и, согласно (17),  $\delta_n^{(2)}$  конечны при  $\omega \rightarrow 0$ .

Разбиение  $\gamma_n$  и  $\delta_n$  (а следовательно, и  $A_n$  и  $B_n$ ) позволяет записать волновую функцию  $\psi_n(x)$  в более простой форме:

$$\psi_n = \gamma_n^{(2)} \cos p_n x + i\delta_n^{(2)} \sin p_n x. \quad (19)$$

Действительно, можно показать, что расходящиеся при  $\omega \rightarrow 0$  выражения в  $\psi_n(x)$  взаимно компенсируются. Таким образом, волновые функции  $\psi_n(x)$

конечны в низкочастотном пределе и на границах ямы принимают значения

$$\psi_n(0) = \psi_n(a) = \gamma_n^{(2)}. \quad (20)$$

Следует отметить, что в упомянутых выше работах [4–6] функция  $\psi_n(x)$  расходятся при  $\omega \rightarrow 0$ . В то же время нетрудно убедиться непосредственно (полагая  $\omega = 0$  в (1) с самого начала), что функция  $\psi_n$  не должна иметь особенностей при  $\omega = 0$ . Не исключено, что это обстоятельство и является причиной расхождения частотных зависимостей токов поляризации.

Пользуясь выражениями (9) и (20), найдем критерий линейного приближения при  $\omega \ll \Gamma$ :  $Ua/\Gamma \ll 1$ . Он резко отличается от соответствующего критерия в [4–6]:  $Ua/\omega \ll 1$ . Разница связана с поведением  $\psi_n(x)$  при  $\omega \rightarrow 0$ .

### 3. ВЫСОКОЧАСТОТНЫЙ ОТКЛИК В РЕЗОНАНСНО-ТУННЕЛЬНОМ ДИОДЕ

Вначале найдем активную составляющую тока  $J^c$ . Подставляя  $\psi_0$  из (9) и  $\psi_n$  из (19) в (4), получим

$$\begin{aligned} J_n^c(x) = & ep \{ (K_n + \text{с.с.}) \times \\ & \times [\sin p_n x \sin px + \cos p_n x \cos px] - \\ & - i(F_n - \text{с.с.}) [\sin px \cos p_n x - \sin p_n x \cos px] \} \equiv \\ \equiv & ep \{ (K_n + \text{с.с.}) \cos(p - p_n)x - \\ & - i(F_n - \text{с.с.}) \sin(p - p_n)x \}, \quad (21) \end{aligned}$$

$$K_n = \delta_0^* \gamma_n^{(2)} + \gamma_0^* \delta_n^{(2)}, \quad F_n = \delta_0^* \delta_n^{(2)} + \gamma_0^* \gamma_n^{(2)}. \quad (22)$$

Вклад в ток  $J_n^c(x)$  вносят слагаемые четырех типов: переходы под действием поля между состояниями с волновыми функциями  $\sin px$  и  $\sin p_n x$  с весом  $\delta_0^* \delta_n^{(2)}$ , между  $\cos px$  и  $\cos p_n x$  с весом  $\gamma_0^* \gamma_n^{(2)}$ , между  $\sin px$  и  $\cos p_n x$  с весом  $\delta_0^* \gamma_n^{(2)}$  и, наконец, между  $\cos px$  и  $\sin p_n x$  с весом  $\gamma_0^* \delta_n^{(2)}$ . Следует иметь в виду, что слагаемое в токе, пропорциональное, например,  $\sin px \cos p_n x$ , появляется в результате перехода между состояниями  $\sin px$  и  $\sin p_n x$ , так как  $J_n^c \propto (\psi^* \psi' - \text{с.с.})$ . Это слагаемое соответствует переходу «лазерного» типа, так как волновые функции  $\sin px$  и  $\sin p_n x$  совпадают с собственными функциями изолированной квантовой ямы. Правда, в рассматриваемой ситуации импульсы  $p$  и  $p_n$  различаются на малую величину  $\omega_n/2p$ . (В лазере  $p - p_n = \pm \pi/a$ .) Так как коэффициенты  $\delta_0 \sim \beta \gamma_0$ ,  $\delta_n^{(2)} \sim \beta \gamma_n^{(2)}$ , вклад этого слагаемого по сравнению со вторым  $\gamma_0^* \gamma_n^{(2)}$  (между  $\cos px$  и  $\cos p_n x$ ) велик по параметру  $\alpha^2/p^2 \gg 1$ .

Слагаемые между «смешанными» состояниями (характерными для токового состояния в резонансно-туннельном диоде и исчезающими в изолированной яме)  $\sin p_n x$  и  $\cos px$ ,  $\sin px$  и  $\cos p_n x$  входят с примерно одинаковыми весами  $\delta_0^* \gamma_n^{(2)}$  и  $\gamma_0^* \delta_n^{(2)}$ , что позволяет им эффективно интерферировать. Именно эти переходы приводят к необычной частотной зависимости  $J_n^c(x)$ , а также к исключительной чувствительности тока от разности «мощности» барьеров  $\alpha_2 - \alpha_1$  эмиттера ( $\alpha_2$ ) и коллектора ( $\alpha_1$ ) резонансно-туннельного диода.

Подставляя (18) в (22), получаем выражение для  $K_n$ :

$$K_n = \frac{q}{\Delta_0^*} \gamma_n^{(2)} \varphi, \quad \frac{\varphi}{\Delta_0^*} = \beta_{2n}(A^* + B^*) - 2B^*, \quad (23)$$

$$\begin{aligned} \varphi = & \beta_2(2 + \beta_1) \exp(2ipa) - \beta_1 \beta_2 + 2\beta_1 = \\ = & \Delta_0^* - 2\Delta_{01}^* \exp(ipa), \quad (24) \end{aligned}$$

снова пренебрегая членами порядка  $\omega/\varepsilon_R$ . Здесь  $\Delta_0$  дается выражением (10), а  $\Delta_{01}$  — «урезанный определитель»:

$$\Delta_{01} = (2 - \beta_1) \exp(-ipa) + \beta_1 \exp(ipa). \quad (25)$$

Функция  $\varphi$  из (24) описывает суперпозицию упомянутых выше переходов «нелазерного» типа и сильно зависит от разностей  $\delta = \varepsilon - \varepsilon_R$  и  $\alpha_2 - \alpha_1$ . Здесь  $\varepsilon_R$  — энергия резонансного уровня, определяемая из уравнения

$$\text{Re } \Delta_0(\varepsilon_R) = 0. \quad (26)$$

Вблизи резонанса и при условии  $\Gamma/\varepsilon_R \ll 1$  функцию  $\varphi$  можно представить в виде

$$\varphi = -\frac{i\alpha_1 \alpha_2 a \delta}{p^3} + 2 \left( \frac{\alpha_1}{\alpha_2} - \frac{\alpha_2}{\alpha_1} \right). \quad (27)$$

При  $\alpha_2 = \alpha_1 = \alpha$  формула (23) переходит в соответствующее выражение для  $K_n$ , полученное в [10].

Вначале рассмотрим ситуацию при  $\alpha_2 = \alpha_1$ . Из (27) видно, что в резонансе, когда  $\varepsilon = \varepsilon_R$ , имеем  $\varphi = 0$ . Это означает, что вклады в ток  $J_n^c$  при  $\cos(p - p_n)x$  (практически не зависящие от координаты и являющиеся основными при  $\omega \ll \Gamma$ ) равны нулю в отдельности, как  $J_{+1}^c$ , так и  $J_{-1}^c$ . Если  $\delta \neq 0$ , оба тока  $J_{+1}^c$  и  $J_{-1}^c$  отличны от нуля и имеют одинаковый знак. Мы увидим, что это соответствует излучению при  $\delta > 0$  и поглощению при  $\delta < 0$ . Обычно же предполагается, что  $J_{+1}^c$  приводит к поглощению,  $J_{-1}^c$  — к излучению [4–6, 8], а результирующий знак отклика определяется их разницей. Это, кстати, позволяет получать в [4–6] при  $\omega \rightarrow 0$  конечные выражения для тока, хотя волновые функции расходятся (см. разд. 2).

Согласно же (23), (27) и (18) знаки низкочастотных вкладов в  $J_n^c$  одинаковы и определяются интерференцией переходов «лазерного» типа, зависящей от условий резонанса (т. е. от  $\delta$ ).

Теперь рассмотрим влияние границ. Как следует из (27), отличие  $\alpha_1$  от  $\alpha_2$  ведет к появлению мнимой добавки к  $\delta$ , зависящей от разности  $\alpha_1/\alpha_2 - \alpha_2/\alpha_1$ :

$$\varphi = -\frac{2i}{\sqrt{\Gamma_1\Gamma_2}} \left[ \delta + i\sqrt{\Gamma_1\Gamma_2} \left( \frac{\alpha_1}{\alpha_2} - \frac{\alpha_2}{\alpha_1} \right) \right]. \quad (28)$$

Подставляя значения для  $\gamma_n^{(2)}$  из (18) и  $\varphi$  в (22), приходим к следующему выражению для  $K_n + \text{с.с.}$ :

$$K_n + \text{с.с.} = -\frac{4Ua}{|\Delta_0|^2\Gamma_1^{3/2}\Gamma_2^{1/2}} \left[ \delta \left( \frac{1}{\Delta_n} + \frac{1}{\Delta_n^*} \right) + \right.$$

$$\left. + i(\Gamma_1\Gamma_2)^{1/2} \left( \frac{\alpha_1}{\alpha_2} - \frac{\alpha_2}{\alpha_1} \right) \left( \frac{1}{\Delta_n} - \frac{1}{\Delta_n^*} \right) \right]. \quad (29)$$

Аналогичным путем найдем выражение для «лазерноподобных» переходов

$$F_n - \text{с.с.} = \frac{8iUp}{|\Delta_0|^2\Gamma_1^{3/2}\Gamma_2^{1/2}} \left( \frac{1}{\Delta_n} - \frac{1}{\Delta_n^*} \right), \quad (30)$$

которое слабо зависит от разницы  $\alpha_2 - \alpha_1$ . Можно показать, что вклад в  $J_n^c$  от  $(F_n - \text{с.с.})$  дает поглощение для  $n = +1$  и излучение при  $n = -1$  в соответствии с обычными представлениями.

Подставляя  $\Delta_n, \Delta_0$  в (29) и (30) и собирая результаты, получаем окончательные выражения для тока  $J^c(x) = J_{+1}^c(x) + J_{-1}^c(x)$  и приведенного тока  $J^c$ :

$$J^c(x) = -\frac{e^2 Ea Q \Gamma \Gamma_2 \delta}{(\delta^2 + \Gamma^2) [(\delta + \omega)^2 + \Gamma^2] [(\delta - \omega)^2 + \Gamma^2]} \times \left\{ \left[ (\delta^2 + \Gamma^2 + \omega^2) - \frac{\alpha_1^2 - \alpha_2^2}{\alpha_1^2 + \alpha_2^2} (\delta^2 + \Gamma^2 - \omega^2) \right] \cos \frac{\omega}{2p} x - \frac{4\omega p}{a} \sin \frac{\omega}{2p} x \right\}, \quad (31)$$

$$J^c = \frac{1}{a} \int_0^a J^c(x) dx = -\frac{e^2 Ea Q \Gamma \Gamma_2 \delta \left[ (\Gamma^2 + \delta^2) + \frac{\Gamma_1 - \Gamma_2}{\Gamma_1 + \Gamma_2} (\Gamma^2 + \delta^2 - \omega^2) \right]}{(\Gamma^2 + \delta^2) [(\delta + \omega)^2 + \Gamma^2] [(\delta - \omega)^2 + \Gamma^2]}, \quad Q = pq^2. \quad (32)$$

Вклад «лазерного» слагаемого ( $F_n - \text{с.с.}$ ) в приведенный ток  $J_n^c$ , пропорциональный  $\omega^2$ , в точности компенсируется соответствующим членом в ( $K_n + \text{с.с.}$ ). Поэтому результирующее выражение (32) имеет интерференционную природу и происходит от ( $K_n + \text{с.с.}$ ).

При одинаковых барьерах  $\Gamma_1 = \Gamma_2 = \Gamma/2$  мы приходим к результату, впервые полученному в [10]:

$$J^c = -\frac{e^2 Ea Q \Gamma^2 \delta}{2 [(\delta + \omega)^2 + \Gamma^2] [(\delta - \omega)^2 + \Gamma^2]}, \quad (33)$$

если исправить допущенную там опечатку: в знаменателе (33) должно стоять 2 вместо 4. Нетрудно видеть, что ток  $J^c(\delta, \omega)$  не меняет знака во всем интервале частот. В низкочастотном пределе,  $\omega \ll \Gamma$ , выражается через статическую дифференциальную  $J^c$  проводимость:

$$J^c(\delta, 0) = \frac{e^2 Ea}{2} \frac{dJ_0(\delta)}{d\delta}, \quad (34)$$

$$J_0(\delta) = \frac{Q\Gamma^2}{2(\delta^2 + \Gamma^2)}, \quad (35)$$

где  $J_0(\delta)$  — статический резонансный ток.

Как показано в [10], кроме обычного режима, в котором  $J^c$  имеет максимум при  $\omega = 0$  (и  $\delta < \Gamma$ ), существует и так называемый «квантовый» режим при  $\delta > \Gamma$ . Ему соответствует максимум  $J^c$  при частоте  $\omega_m$ :

$$\omega_m^2 = \delta^2 - \Gamma^2, \quad \delta > \Gamma. \quad (36)$$

Излучение (поглощение) происходит благодаря квазирезонансным переходам между состояниями с энергиями  $\varepsilon$  и  $\varepsilon_R$ . Отсюда следует, что при одинаковых барьерах ( $\alpha_2 = \alpha_1$ ) генерация возможна на частотах, значительно превышающих  $\Gamma$ , если выбрать энергию электронов (аналог постоянного напряжения смещения)  $\varepsilon = \varepsilon_R + \omega$  вне области максимальной отрицательной дифференциальной проводимости (где  $\delta < \Gamma$ ).

Отметим, что описанные выше результаты были подтверждены с высокой точностью численным решением системы (5)–(8), а также непосредственно временного уравнения (2) в работах [12–14].

В случае разных барьеров ( $\Gamma_1 \neq \Gamma_2$ ) частотная зависимость тока  $J^c$  может стать кардинально другой. Так, при  $\Gamma_1 > \Gamma_2$  ток меняет знак при некотором значении частоты  $\omega_0$ :

$$\omega_0^2 = \frac{2\Gamma_1(\delta^2 + \Gamma^2)}{\Gamma_1 - \Gamma_2}. \quad (37)$$

В то же время «квантовый» режим реализуется при любых  $\Gamma_1$  и  $\Gamma_2$ . В частности, при  $\Gamma_1 \gg \gg \Gamma_2$  максимум тока достигается при частоте  $\omega_m^2 = 2(\delta^2 + \Gamma^2) - (\delta^4 + 10\delta^2\Gamma^2 + 9\Gamma^4)^{1/2}$ . (Если  $\delta \gg \Gamma$ , то  $\omega_m \approx \delta$ .)

При выполнении обратного неравенства,  $\Gamma_1 < \Gamma_2$ , ток сохраняет знак при любых частотах. В предельном случае  $\Gamma_2 \gg \Gamma_1$  частотная зависимость становится необычной для резонансно-туннельного диода:

$$J^c = -\frac{e^2 EaQ\Gamma_2^2 \delta \omega^2}{(\Gamma^2 + \delta^2) [(\delta + \omega)^2 + \Gamma_2^2] [(\delta - \omega)^2 + \Gamma_2^2]}. \quad (38)$$

Действительно, при  $\omega \rightarrow 0$  ток обращается в нуль и не выражается через дифференциальную проводимость. Остается только квантовый режим, причем максимум  $J^c(\delta, \omega)$  достигается для частоты

$$\omega_m^2 = \delta^2 + \Gamma^2 \quad (39)$$

для любого  $\delta > 0$ .

Найдем также реактивный ток. После некоторых вычислений получаем

$$J_n^s(x) = ep [i(K_n - \text{с.с.}) \cos(p - p_n)x + (F_n + \text{с.с.}) \sin(p - p_n)x] \quad (40)$$

и для приведенного реактивного тока

$$J^s = -\frac{e^2 EaQ\Gamma_2 \delta \omega [\delta^2 - \omega^2 - 3\Gamma^2 + 4(\Gamma_2^2 - \Gamma_1^2)]}{2(\Gamma^2 + \delta^2) [(\delta + \omega)^2 + \Gamma^2] [(\delta - \omega)^2 + \Gamma^2]}. \quad (41)$$

При  $\Gamma_1 = \Gamma_2$  эта формула переходит в соответствующее выражение работы [10], если исправить там знак на противоположный.

#### 4. СРАВНЕНИЕ С РЕЗУЛЬТАТАМИ ДРУГИХ РАБОТ

Как уже обсуждалось детально в [10] и упоминалось выше во Введении, нет единого мнения по вопросу фундаментального ограничения на частоту генерации резонансно-туннельного диода. Согласно довольно широко распространенной точке зрения

(см., например, [4, 8]), частота генерации (т. е. частота, где ток меняет знак и усиление обращается в нуль) ограничена величиной равной  $\Gamma$ .

Это представление основано, в частности, на результатах теоретических работ [1–4], в которых решалось уравнение Шредингера, а также на результатах работ, использующих метод туннельного гамильтониана [5, 6].

К сожалению, трудно провести непосредственное сравнение с численными расчетами, тем более что среди них много противоречий (см., например, [8, 17]). Как уже указывалось нами выше в разд. 3, возможной причиной изменения знака отклика в [1–3] является несимметричность барьеров из-за напряжения смещения.

Представляется важным провести сравнение с теоретическими результатами, полученными аналитически в наиболее простой постановке, чтобы исключить влияние непринципиальных осложнений. Для этого будем предполагать (как это уже делалось выше), что функция распределения электронов эмиттера имеет  $\delta$ -образный характер, т. е. электроны предполагаются моноэнергетическими с энергией  $\varepsilon$ . Затем проведем сравнение и для других функций распределения.

Наиболее близка по постановке задачи работа [4] (см. в ней ссылки на предыдущие работы), где рассмотрена аналитическая модель резонансно-туннельного диода на основе уравнения Шредингера. Но, в отличие от данной работы и [10], автор [4] не находит явного решения уравнения Шредингера в области квантовой ямы. Он записывает волновую функцию на коллекторной границе ( $x = a$ ) в виде

$$\Psi = [t_0 e^{-ipx} + t_{+1} e^{-ip+1x-i\omega t} + t_{-1} e^{-ip-1x-i\omega t}] \times \exp\left(i\varepsilon t - \frac{iV \sin \omega t}{\omega}\right), \quad (42)$$

где  $t_0, t_{\pm 1}$  — амплитуды перехода электронов соответственно через яму без поля и в первом порядке по полю (аналоги наших  $\psi_0$  и  $\psi_{\pm 1}$ ). Структура предполагалась с одинаковыми  $\Gamma_1 = \Gamma_2$ .

Амплитуды находились суммированием проходящих и отраженных волн (модель резонатора Фабри–Перо) и оказались равными

$$|t_{\pm 1}|^2 = \left(\frac{V}{2\omega}\right)^2 \frac{\Gamma^2 [(\delta \pm \omega/2)^2 + \Gamma^2]}{(\delta^2 + \Gamma^2) [(\delta \pm \omega)^2 + \Gamma^2]}. \quad (43)$$

Они существенно отличаются от наших (см. (18), (20)):

$$|\psi_{\pm 1}(a)|^2 = |\gamma_{\pm}^{(2)}|^2 = \frac{(Va)^2 \Gamma^2}{16(\delta^2 + \Gamma^2) [(\delta \pm \omega)^2 + \Gamma^2]}, \quad (44)$$

вычисленных по точному решению уравнения Шредингера (2) с граничными условиями (6), (8). Принципиальная разница состоит в расходимости  $t_{\pm 1}$  при  $\omega \rightarrow 0$ . Выражение для тока  $J^c$  из [4] имеет вид

$$J^c = -\frac{epV\Gamma^2\delta(\delta^2 + \Gamma^2 - \omega^2)}{(\Gamma^2 + \delta^2)[(\delta + \omega)^2 + \Gamma^2][(\delta - \omega)^2 + \Gamma^2]}. \quad (45)$$

Из (45) следует смена знака при  $\omega_0^2 = \delta^2 + \Gamma^2$ , наличие предельной частоты и отсутствие квантового режима. Причины расхождения с (33), по-видимому, связаны с приближениями, сделанными в [4] (см. подробнее анализ в [10]). В остальных известных нам аналитических работах, использующих уравнение Шредингера, не приведено замкнутых выражений для токов  $J^c$  и  $J^s$ .

Большое количество теоретических работ, посвященных вычислению высокочастотного отклика в резонансно-туннельного диоде, использует метод туннельного гамильтониана (см., например, [5, 6] и ссылки там).

Выражение для тока  $i_2$  (аналог  $J^c$ ), полученное в [5, 6] для  $\delta$ -образной функции распределения электронов, имеет вид

$$i_2 = -\frac{2e^2V\Gamma_1\Gamma_2\delta(\delta^2 + \Gamma^2 - \omega^2)}{(\Gamma^2 + \delta^2)[(\delta + \omega)^2 + \Gamma^2][(\delta - \omega)^2 + \Gamma^2]}. \quad (46)$$

При получении (46) предполагалось, что переменное поле приложено только к эмиттеру. Прежде всего отметим, что отклик  $i_2$  слабо зависит от разности  $\Gamma_1 - \Gamma_2$  и при  $\Gamma_1 = \Gamma_2$  аналогичен (45) из [4]. Напомним, что в [4] поле предполагалось приложенным ко всей яме.

Чтобы провести сравнение с [5, 6], мы решили уравнение Шредингера (2) с локальным потенциалом

$$U(x, t) = \bar{U}\delta(x) \cos \omega t. \quad (47)$$

Выражение для приведенного тока имеет вид

$$J^c = -\frac{8\bar{U}(\Gamma_1\Gamma_2)^{3/2}\delta/p[\delta^2 + \Gamma^2 + \omega^2(3\Gamma/2\Gamma_1 - 1)]}{a(\Gamma^2 + \delta^2)[(\delta + \omega)^2 + \Gamma^2][(\delta - \omega)^2 + \Gamma^2]}. \quad (48)$$

Видно, что ток, в отличие от (46) и (32), не меняет знака во всем интервале частот и слабо зависит от разности  $\Gamma_1 - \Gamma_2$ . Кроме того, ток (48) имеет по сравнению с (46) и (32) малость порядка  $\Gamma/\varepsilon_R$ . Причина этого очевидна и состоит в следующем. Увеличение функции  $\psi_n$  на множитель  $\varepsilon_R/\Gamma$  за счет резонанса в яме с полем, приложенным ко всей яме, отсутствует, если поле  $U(x, t)$  из (47) локально. Таким образом, в методе туннельного гамильтониана отклик слабо

зависит от вида  $U(x, t)$  в отличие от точного результата. Кроме того, отметим, что волновые функции в [5, 6], как и в [4], расходятся при  $\omega \rightarrow 0$ .

Сравним отклики и для энергетического распределения электронов с квазиравновесной функцией  $f(\varepsilon/T)$  ( $T$  — температура). В высокотемпературном пределе, когда  $\omega, \Gamma \ll T$ , получаем для (46) при  $\Gamma_1 = \Gamma_2 = \Gamma/2$ :

$$\bar{i}_2 = e^2 \frac{\partial f(\varepsilon_R)}{\partial \varepsilon} \frac{V\Gamma^3\pi}{4(\omega^2 + \Gamma^2)}. \quad (49)$$

Видно, что усиление ограничивается частотой  $\omega \approx \Gamma$ . Проводя аналогичное интегрирование для (33), получаем

$$J^c = \frac{e^2 EaQ\Gamma\pi}{4} \frac{\partial f(\varepsilon_R)}{\partial \varepsilon}, \quad (50)$$

т. е. ограничение усиления по частоте отсутствует. По-видимому, указанные противоречия связаны с тем, что явление интерференции и открытые граничные условия некорректно учитываются в методе туннельного гамильтониана. Действительно, в последнем предполагается существование резонансного уровня, и феноменологически вводится перескок между ямой и эмиттером (коллектором). По сути дела, метод туннельного гамильтониана описывает некогерентное туннелирование. В работе [18] дано доказательство этого утверждения, по крайней мере, для  $\omega < \Gamma$ .

## 5. ЗАКЛЮЧЕНИЕ

Полученные выражения для токов поляризации для несимметричных барьеров позволяют в принципе согласованно объяснить результаты, полученные экспериментально, а также в результате численного и аналитического решения уравнения Шредингера. Действительно, можно предположить, что в [1–3] и [7] асимметрия барьеров возникла за счет постоянного электрического поля смещения, которое понижает барьер коллектора (т. е. увеличивает  $\Gamma_1$ ). Детальное сравнение требует проведения специальных расчетов и экспериментов с контролируемыми  $\Gamma_1$  и  $\Gamma_2$ , т. е. с реальными величинами барьеров эмиттера и коллектора. Представляет интерес также проверка усиления в резонансно-туннельном диоде при  $\Gamma_2 \gg \Gamma_1$ , когда низкочастотное усиление должно стремиться к нулю как  $\omega^2$ . Очевидно, что этот результат сохранится при любом виде функции распределения электронов  $f(\varepsilon)$ . Важно также подчеркнуть, что при любых  $\Gamma_1$  и  $\Gamma_2$  квантовый режим генерации сохраняется. Частота, при которой усиление

максимально удовлетворяет условию квазирезонанса  $\omega_m \approx \delta$ , равна  $\omega \gg \Gamma$ . Таким образом, как показано в [12, 13], возможно достижение больших мощностей генерации на сверхвысоких частотах.

Подтверждение предсказываемых теорией результатов послужило бы доказательством специфического механизма излучения и поглощения в структурах с когерентным резонансным туннелированием, связанного с чисто квантовым явлением суперпозиции разных типов излучательных переходов.

Что касается метода туннельного гамильтониана, то представляется весьма сомнительным корректность его использования для вычисления высокочастотного отклика в когерентных системах типа резонансно-туннельного диода. Они являются исключительно чувствительными к граничным условиям, истинному виду потенциала переменного поля и корректному описанию явления пространственного квантования. Метод туннельного гамильтониана — по существу, феноменологический, так как резонансный уровень и граничные условия (заменяющиеся перескоком электронов) постулируются.

Автор благодарен Ю. В. Копаеву за полезное обсуждение работы. Работа выполнена в рамках Федеральной целевой программы «Интеграция» и при поддержке Минпромнауки РФ в рамках программы «Физика твердотельных наноструктур».

## ЛИТЕРАТУРА

1. W. R. Frensley, Appl. Phys. Lett. **551**, 448 (1987); Rev. Mod. Phys. **62**, 745 (1990).
2. R. K. Mains and G. I. Haddad, J. Appl. Phys. **64**, 3564 (1988); **64**, 504 (1988).
3. C. L. Fernando and W. R. Frensley, Phys. Rev. B **52**, 5092 (1995).
4. H. C. Lju, Phys. Rev. B **43**, 12538 (1991); Erratum **48**, 4977 (1993).
5. M. Büttiker, A. Pretre, and H. Thomas, Phys. Rev. Lett. **70**, 4114 (1993).
6. M. P. Antram and S. Datta, Phys. Rev. B **51**, 7632 (1995).
7. J. P. Mattia and Mc. Whorter, J. Appl. Phys. **84**, 1140 (1998).
8. H. C. Lju and J. C. L. Sollner, Semicond. Semimet. **41**, 359 (1994).
9. E. R. Brown, J. R. Södestrom, C. D. Parker et al., Appl. Phys. Lett. **58**, 2291 (1991).
10. В. Ф. Елесин, ЖЭТФ **116**, 704 (1999).
11. V. F. Elesin and A. V. Krasheninnikov, Phys. Low-Dim. Struct. **7/8**, 65 (1999).
12. В. Ф. Елесин, И. Ю. Катеев, А. И. Подливаев, ФТП **34**, 1373 (2000).
13. В. Ф. Елесин, И. Ю. Катеев, А. И. Подливаев, УФН **170(3)**, 333 (2000).
14. Р. Ф. Казаринов, Р. А. Сурис, ФТП **6**, 148 (1972).
15. N. S. Wingreen, A. P. Janho, and Y. Meir, Phys. Rev. B **48**, 8487 (1993).
16. В. Ф. Елесин, ЖЭТФ **112**, 483 (1997).
17. F. A. Buot and A. R. Rajagopal, Phys. Rev. B **48**, 17217 (1993).
18. V. V. Afonin and A. M. Rudin, Phys. Rev. B **49**, 10466 (1994).